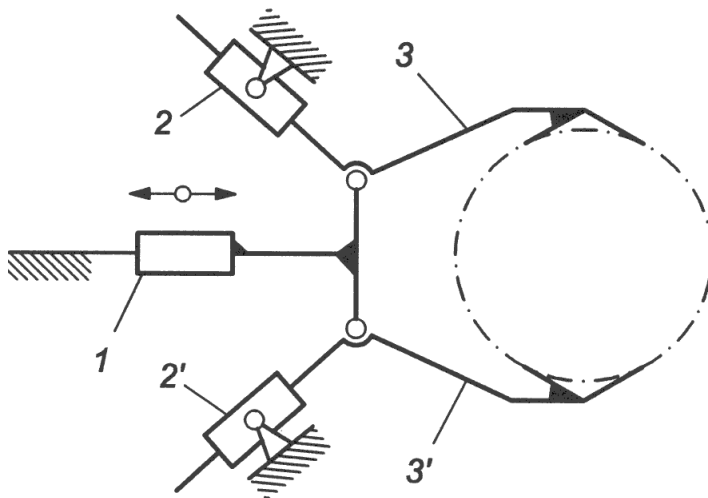


# PROJEKT CHWYTAKA NR 20

Dariusz Papierniak  
EAlE II rok AiR

**1. Obliczenie ruchliwości chwytaka na podstawie zadanego schematu kinematycznego.**

*P-(O-P-Op)*



n=5    ilość elementów ruchomych

p5=7 (1,0),(2,0),(2',0),(2,3),(2',3'),(3,1),(3',1) ilość par klasy 5

p4=0    ilość par klasy 4

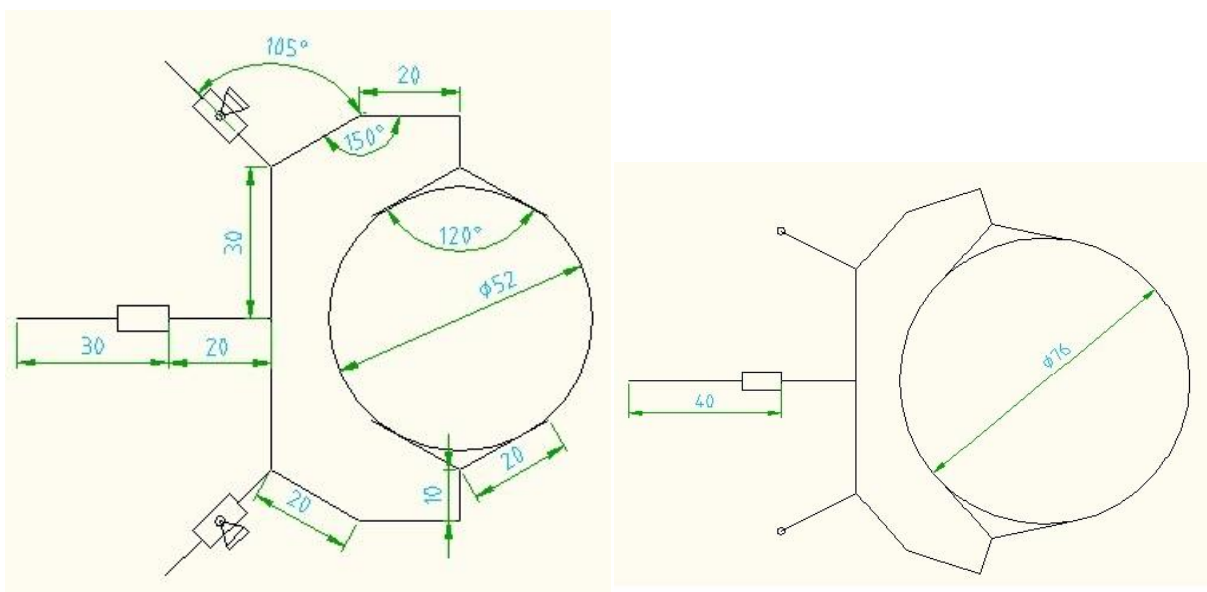
$$w = 3 \cdot n - 2 \cdot p_5 - p_4$$

$$w = 3 * 5 - 2 * 7 = 15 - 14 = 1$$

Do napędu chwytaka wystarczy jeden siłownik pneumatyczny liniowy.

## 2. Analiza zadania projektowego:

Przyjęcie podstawowych wymiarów chwytaka, wyznaczenie skoku siłownika oraz zakresu rozwarcia szczęk:



Maksymalny ciężar obiektu transportowanego obliczam ze wzoru:

$$Q = \frac{\pi d^2}{4} l_{\max} \gamma$$

$$d_{\max} = 76,00 \text{ [mm]} = 0,076 \text{ [m]}$$

$$d_{\min} = 52,00 \text{ [mm]} = 0,052 \text{ [m]}$$

$$l_{\max} = 0,4 \text{ [m]}$$

$$\gamma = 78000 \text{ [N/m}^3\text{]}$$

- średnica największego wałka,

- średnica najmniejszego wałka,

- maksymalna długość chwytanego obiektu,

- ciężar właściwy transportowanego materiału (stal).

Obliczone wartości Q wynoszą:

$$Q_1 = 141,54 \text{ N}$$

- maksymalny ciężar obiektu dla  $d_{\max}$

$$Q_2 = 66,26 \text{ N}$$

- maksymalny ciężar obiektu dla  $d_{\min}$

Współczynniki przyjmuję następująco:

$$\mu = 0,2$$

- współczynnik tarcia (metal-metal)

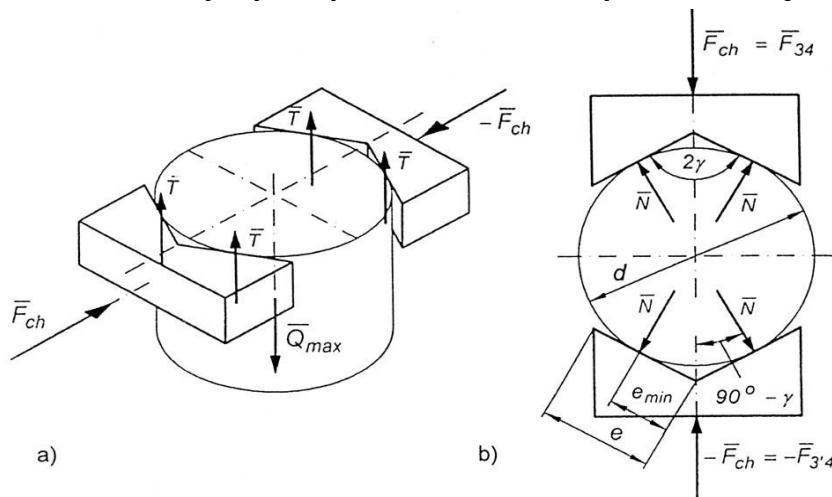
$$n = 2$$

- współczynnik bezpieczeństwa

$$2\gamma = 120^\circ$$

- kąt nachylenia szczęk chwytaka

**Wyznaczenie koniecznej siły chwytu  $F_{ch}$  i obliczenie wymiarów szczęk:**



Układ sił działających na chwytak:

a) rozkład sił tarcia podczas chwytania

b) rozkład sił normalnych podczas chwytania

$$F_{ch} = 2N \cos(90^\circ - \gamma) \quad N = \frac{F_{ch}}{2 \cos(90^\circ - \gamma)} = \frac{F_{ch}}{2 \sin \gamma}$$

$$T = \mu N = \frac{F_{ch} \cdot \mu}{2 \sin \gamma}$$

Siły tarcia muszą spełniać warunek:

$$4T = \frac{2F_{ch} \cdot \mu}{\sin \gamma} \geq Q \cdot n$$

stąd

$$F_{ch} \geq \frac{Q \cdot n \sin \gamma}{2\mu}$$

Wstawiając dane do równania (ciężar obiektu  $Q_2$ ) otrzymujemy:

$$F_{ch} = 286,91 \text{ N}$$

Do dalszych obliczeń przyjmuję  $F_{ch} = 300 \text{ N}$

### Obliczenie minimalnej wielkości szczęk

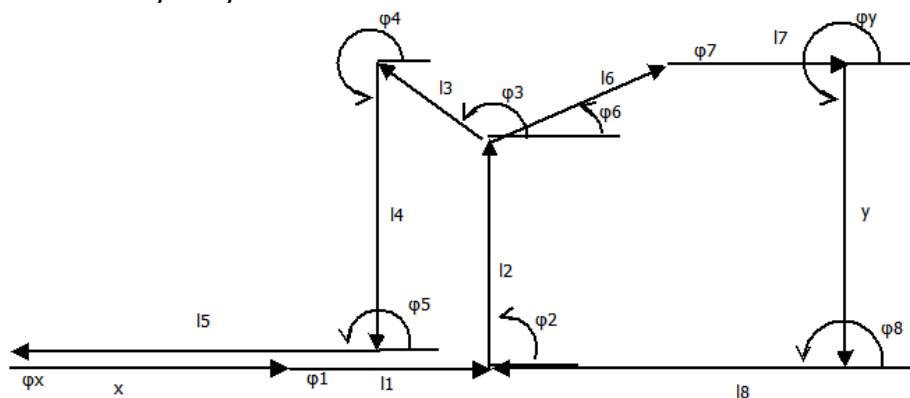
$$e_{\min} = \frac{d}{2 \tan \gamma}$$

w moim przypadku  $e_{\min} = 15,01 \text{ mm}$

Przyjęte przeze mnie  $e = 20 \text{ mm}$

### 3. Obliczenie charakterystyki przesunięciowej chwytaka

Schemat używany do obliczeń:



Każdemu wektorowi odpowiada kąt skierowany. Wielkości które nie ulegają zmianie w trakcie ruchu chwytaka to:

$l_1=20\text{ mm}$ ,  $l_2=30\text{ mm}$ ,  $l_4=40\text{ mm}$ ,  $l_5=40\text{ mm}$ ,  $l_6=20\text{ mm}$ ,  $l_7=20\text{ mm}$ ,

$\phi_x=0^\circ$ ,  $\phi_1=0^\circ$ ,  $\phi_2=90^\circ$ ,  $\phi_4=270^\circ$ ,  $\phi_5=180^\circ$ ,  $\phi_7=270^\circ$ ,  $\phi_8=180^\circ$

ponadto znane są zależności:

$\phi_6=\phi_3-105^\circ$ ,  $\phi_7=\phi_3-135^\circ$

Pozostałe wielkości zależą od wartości  $x$ .

Zgodnie z przyjętymi wcześniej wielkościami  $x$  zmienia się w przedziale od 30 do 40 mm

### **Korzystam z metody analitycznej.**

Dla zamkniętego wieloboku wektorowego zapisuję równanie:

$$\vec{x} + \vec{l}_1 + \vec{l}_2 + \vec{l}_3 + \vec{l}_4 + \vec{l}_5 = 0$$

Z którego wyznaczam wartość  $\phi_3$  potrzebną do dalszych obliczeń:

Rzut na oś  $x$ :

$$x \cos(\phi_x) + l_1 \cos(\phi_1) + l_2 \cos(\phi_2) + l_3 \cos(\phi_3) + l_4 \cos(\phi_4) + l_5 \cos(\phi_5) = 0$$

Po uwzględnieniu znanych kątów:

$$x + l_1 + l_3 \cos(\phi_3) - l_5 = 0$$

więc

$$l_3 \cos(\phi_3) = l_5 - x - l_1$$

Rzut na oś  $y$ :

$$x \sin(\phi_x) + l_1 \sin(\phi_1) + l_2 \sin(\phi_2) + l_3 \sin(\phi_3) + l_4 \sin(\phi_4) + l_5 \sin(\phi_5) = 0$$

Po uwzględnieniu znanych kątów:

$$l_2 + l_3 \sin(\phi_3) - l_4 = 0$$

więc

$$l_3 \sin(\phi_3) = l_4 - l_2$$

po wyrugowaniu l3 otrzymuję:

$$\operatorname{tg}(\varphi 3)=\frac{l 4-l 2}{l 5-x-l 1}$$

funkcja arctg zwraca kąt z przedziału  $-90^{\circ}, 90^{\circ}$ , ponieważ kąt  $\phi 3$  jest kątem rozwartym

$$\varphi 3=\operatorname{arctg}\left(\frac{l 4-l 2}{l 5-x-l 1}\right)+180^{\circ}$$

Natomiast z jedynki trygonometrycznej otrzymuję:

$$l 3=\sqrt{\left(l 5-x-l 1\right)^2+\left(l 4-l 2\right)^2}$$

Zapisuję równanie wektorowe dla drugiego wieloboku:

$$\bar{y}+\bar{l} 2+\bar{l} 6+\bar{l} 7+\bar{l} 8=0$$

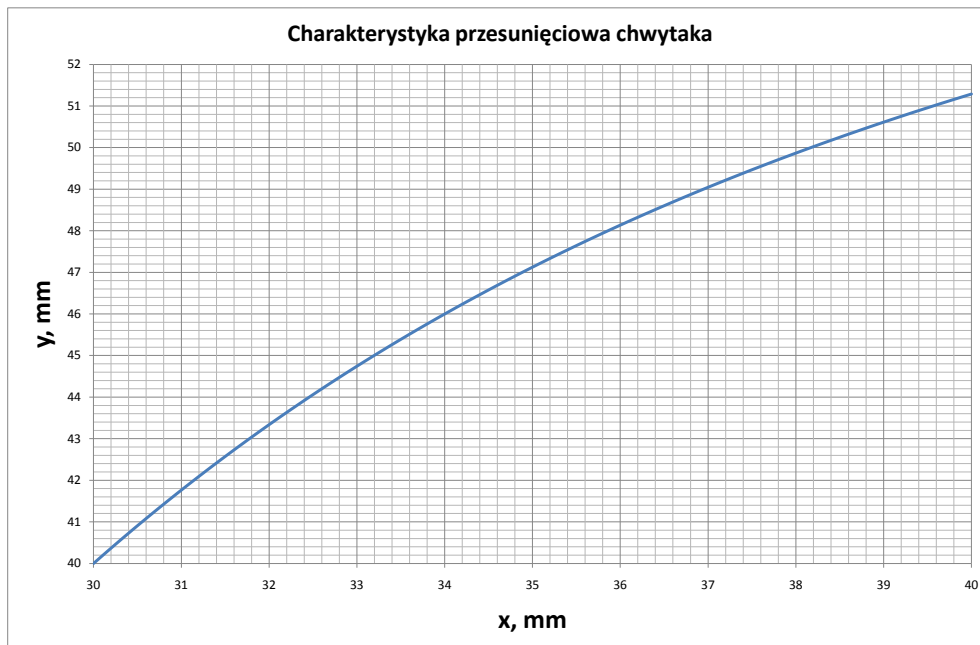
Do wyznaczenia wartości y wystarczy rzut na oś y:

$$y \sin (\phi y)+l 2 \sin (\phi 2)+l 6 \sin (\phi 6)+l 7 \sin (\phi 7)+l 8 \sin (\phi 8)=0$$

Po wstawieniu znanych wartości kątów:

$$y=l 2+l 6 \sin (\phi 3-105^{\circ})+l 7 \sin (\phi 3-135^{\circ})$$

Oto charakterystyka przesunięciowa otrzymana za pomocą programu Excel:



#### 4. Wyznaczenie charakterystyki prędkościowej chwytaka.

W celu otrzymania charakterystyki prędkościowej chwytaka należy zróżniczkować charakterystykę przesunięciową.

$$\frac{dy}{dx} = \frac{d}{dx} (l_2 + l_6 \sin(\varphi_3 - 105^\circ) + l_7 \sin(\varphi_3 - 135^\circ))$$

$$\frac{dy}{dx} = l_6 \cos(\varphi_3 - 105^\circ) \frac{d\varphi_3}{dx} + l_7 \cos(\varphi_3 - 135^\circ) \frac{d\varphi_3}{dx}$$

$$\frac{d\varphi_3}{dx} = \frac{d}{dx} \left( \arctg \left( \frac{l_4 - l_2}{l_5 - x - l_1} \right) + 180^\circ \right)$$

$$\frac{d\varphi_3}{dx} = \frac{1}{1 + \left( \frac{l_4 - l_2}{l_5 - x - l_1} \right)^2} \cdot \frac{d \left( \frac{l_4 - l_2}{l_5 - x - l_1} \right)}{dx}$$

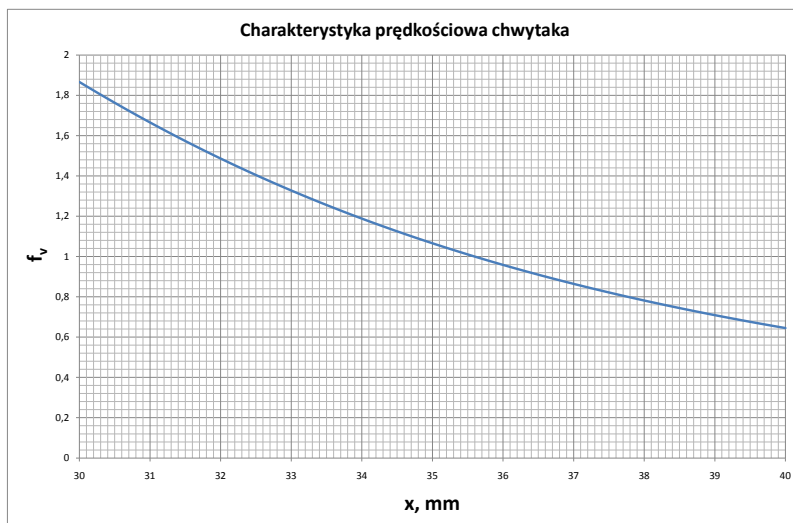
$$\frac{d \left( \frac{l_4 - l_2}{l_5 - x - l_1} \right)}{dx} = \frac{l_4 - l_2}{(l_5 - x - l_1)^2}$$

$$\frac{d\varphi_3}{dx} = \frac{1}{\frac{(l_5 - x - l_1)^2 + (l_4 - l_2)^2}{(l_5 - x - l_1)^2}} \cdot \frac{l_4 - l_2}{(l_5 - x - l_1)^2} = \frac{l_4 - l_2}{(l_5 - x - l_1)^2 + (l_4 - l_2)^2}$$

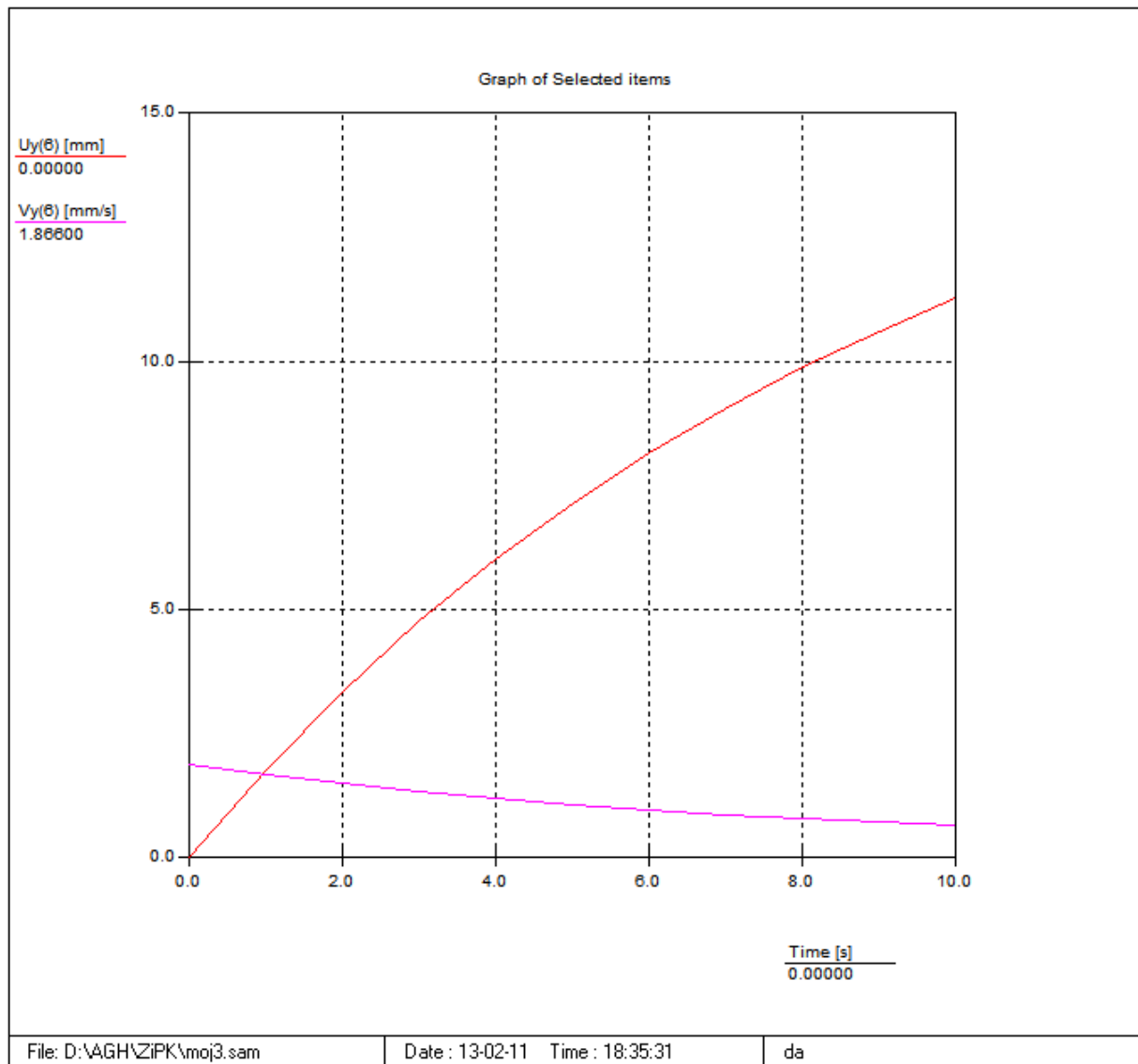
$$\frac{dy}{dx} = l_6 \cos(\varphi_3 - 105^\circ) \frac{l_4 - l_2}{(l_5 - x - l_1)^2 + (l_4 - l_2)^2} + l_7 \cos(\varphi_3 - 135^\circ) \frac{l_4 - l_2}{(l_5 - x - l_1)^2 + (l_4 - l_2)^2}$$

$$\frac{dy}{dx} = \frac{(l_4 - l_2) \cdot (l_6 \cos(\varphi_3 - 105^\circ) + l_7 \cos(\varphi_3 - 135^\circ))}{(l_5 - x - l_1)^2 + (l_4 - l_2)^2}$$

$$f_v(x) = \frac{dy}{dx}$$



Powyżej znajduje się charakterystyka prędkościowa uzyskana za pomocą programu Excel. Poniżej zamieszczam natomiast obie charakterystyki uzyskane w programie SAM.



W obu przypadkach charakterystyki te są identyczne.

## 5. Wyznaczenie charakterystyki siłowej chwytaka

$$f_F(x) = \frac{F_{ch}}{F_s}$$

gdzie:

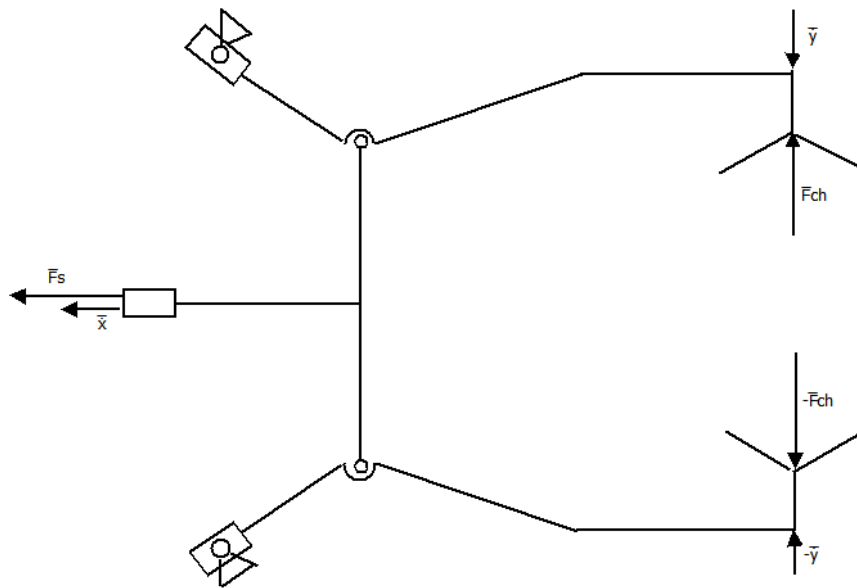
$F_{ch}$ - siła chwytu

$F_s$ - siła na wyjściu siłownika

$f_F(x)$ - przełożenie siłowe mechanizmu chwytaka



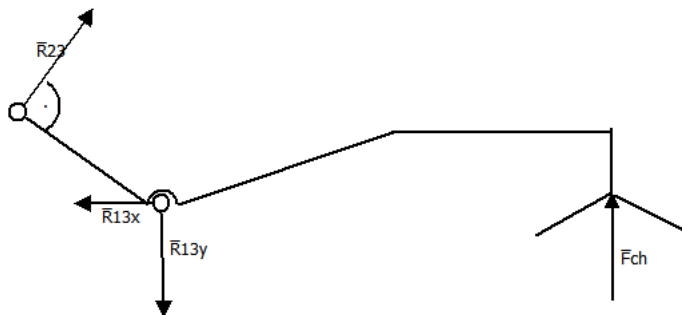
Model obliczeniowy do wyznaczenia charakterystyki siłowej



Dokonuję obliczeń dla chwytaka w pozycji zamkniętej. Wówczas stosując te same oznaczenia kątów i wektorów co w pkt 3:

$$\phi_3=135^\circ, \phi_6=30^\circ, \phi_7=0^\circ$$

Po uwolnieniu od więzów górne ramię wygląda następująco:



Siła  $R_{23}$  jest prostopadła do  $l_3$ , zatem jest pod kątem  $\phi_3-90^\circ$ . W rozpatrywanej sytuacji

$$R_{23x}=R_{23y}=R_{23}\cdot\frac{\sqrt{2}}{2}$$

Z warunków równowagi dla sił i momentów możemy zapisać:

$$\sum P_{ix} = R_{23x} - R_{13x} = 0$$

$$\sum P_{iy} = F_{ch} + R_{23y} - R_{13y} = 0$$

$$\sum M_z = F_{ch} \cdot (l_6 \cos(30^\circ) + l_7) - R_{23} \cdot l_3 = 0$$

skąd otrzymuję następujące zależności:

$$R_{23x} = R_{13x}$$

$$R_{13y} = F_{ch} + R_{23y}$$

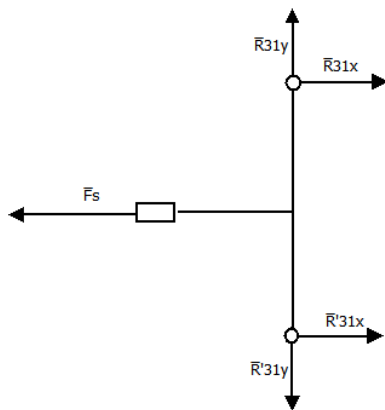
korzystając z wcześniej obliczonego wzoru na l3 mogę zapisać:

$$F_{ch} \cdot (l6 \cos(30^\circ) + l7) = R_{23} \cdot \sqrt{(l5 - x - l1)^2 + (l4 - l2)^2}$$

skąd dla  $F_{ch} = 300\text{N}$

$$R_{23} = 791,68\text{ N} \text{ więc } R_{23x} = R_{23y} = 559,8\text{ N}$$

Dla pozostałej części chwytaka mamy:



ponieważ  $R_{31} = R'_{31}$  mamy:

$$F_s = 2 R_{31x}$$

ponadto

$$\overline{R_{31}} = -\overline{R_{13}}$$

więc w początkowym położeniu wymagana siła  $F_s = 1119,6\text{ N}$

Wprowadzając zależności analityczne możemy równanie momentów dla ramienia zapisać następująco:

$$F_{ch} \cdot (l6 \cos(\varphi3 - 105^\circ) + l7 \cos(\varphi3 - 135^\circ)) = R_{23x} l3 \sin(\varphi3) - R_{23y} l3 \cos(\varphi3)$$

minus przy cos po prawej stronie pojawił się gdyż interesuje nas długość rzutu wektora l3 na oś x.

Ponieważ  $R_{23}$  ma być prostopadłe do l3 mamy zależność między składową poziomą i pionową:

$$R_{23y} = R_{23x} \operatorname{tg}(\varphi3 - 90^\circ) \text{ ponadto:}$$

$$R_{23x} = \frac{1}{2} F_s$$

Otrzymuję

$$F_{ch} \cdot (l6 \cos(\varphi3 - 105^\circ) + l7 \cos(\varphi3 - 135^\circ)) \\ = R_{23x}(l3 \sin(\varphi3) - \operatorname{tg}(\varphi3 - 90^\circ) l3 \cos(\varphi3))$$

$$\frac{F_{ch}}{F_s} = \frac{l3 \sin(\varphi3) - \operatorname{tg}(\varphi3 - 90^\circ) l3 \cos(\varphi3)}{2(l6 \cos(\varphi3 - 105^\circ) + l7 \cos(\varphi3 - 135^\circ))}$$

$$-\operatorname{tg}(\varphi3 - 90^\circ) = -\operatorname{tg}\left(\arctg\left(\frac{l4 - l2}{l5 - x - l1}\right) + 180^\circ - 90^\circ\right) = \frac{1}{\operatorname{tg}\left(\arctg\left(\frac{l4 - l2}{l5 - x - l1}\right)\right)}$$

$$\frac{1}{\operatorname{tg}\left(\arctg\left(\frac{l4 - l2}{l5 - x - l1}\right)\right)} = \frac{1}{\frac{l4 - l2}{l5 - x - l1}} = \frac{l5 - x - l1}{l4 - l2}$$

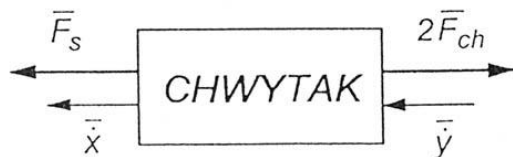
po uwzględnieniu wcześniej wyprowadzonych wzorów otrzymuję:

$$\frac{F_{ch}}{F_s} = \frac{l4 - l2 + \frac{l5 - x - l1}{l4 - l2} (l5 - x - l1)}{2(l6 \cos(\varphi3 - 105^\circ) + l7 \cos(\varphi3 - 135^\circ))}$$

$$\frac{F_{ch}}{F_s} = \frac{(l4 - l2)^2 + (l5 - x - l1)^2}{2(l4 - l2)(l6 \cos(\varphi3 - 105^\circ) + l7 \cos(\varphi3 - 135^\circ))}$$

## 6. Sprawdzenie charakterystyki siłowej metodą mocy chwilowych.

Model chwytaka do wyznaczenia bilansu mocy chwilowych:



Bilans mocy chwilowych przy pominięciu tarcia, sił ciężkości oraz bezwładności:

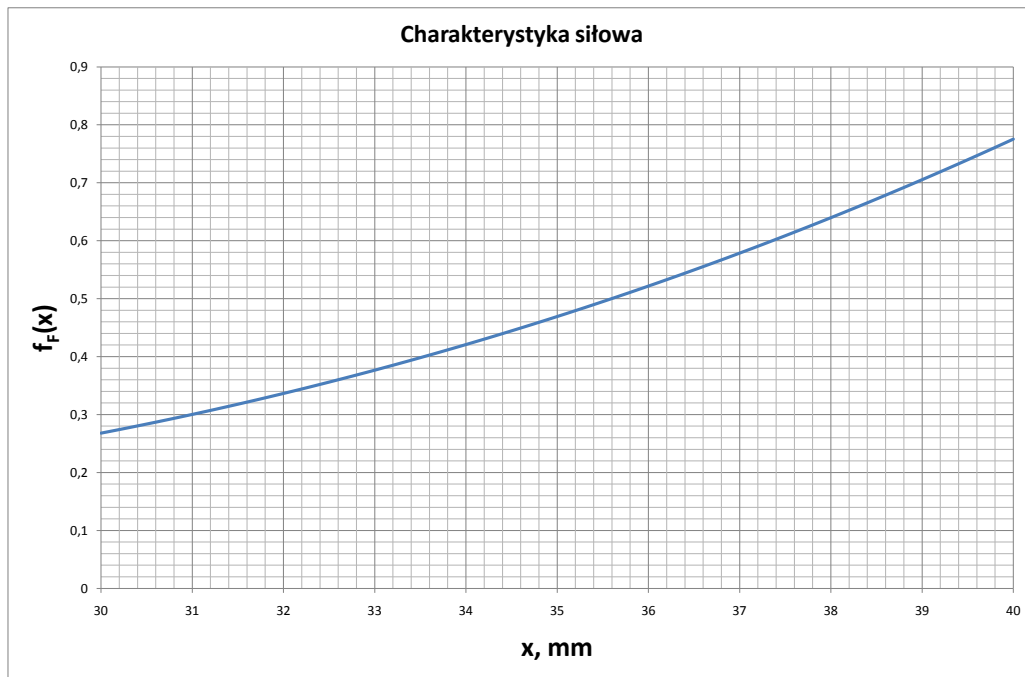
$$N_{WE} + N_{WY} = 0$$

$$F_s \cdot \dot{x} - 2F_{ch} \cdot \dot{y} = 0$$

$$f_F(x) = \frac{1}{2f_v(x)}$$

$$f_F(x) = \frac{(l4 - l2)^2 + (l5 - x - l1)^2}{2(l4 - l2)(l6 \cos(\varphi3 - 105^\circ) + l7 \cos(\varphi3 - 135^\circ))}$$

Otrzymana charakterystyka jest identyczna jak w pkt 5. Oto jej wykres:



## 7. Obliczenia wytrzymałościowe

a) najbardziej obciążonego sworznia na ścinanie

Najbardziej obciążonym sworzniem jest ten, na którym obraca się ramię. Działa na niego siła  $F_{31}$ . Dla położenia  $x=30$  mm jest ona największa i wynosi około 800N (wartość wyliczona na podstawie równań z pkt 5). Siła tnąca  $T$  wynosi więc 400N, gdyż ramię chwytaka jest podwójne. Sworzeń ma średnicę 5mm i jest wykonany ze stali st3, dla której dopuszczalne naprężenie na ścinanie wynosi  $k_t=54$  MPa.

$$A = \frac{\pi d^2}{4}$$

$$\tau = \frac{T}{A} \leq k_t$$

$$\tau = 20,37 \text{ MPa}$$

a więc warunek wytrzymałości na ścinanie został spełniony.

b) ramienia na zginanie

Maksymalny moment gnący występuje w miejscu w którym przez ramię przechodzi sworzeń dla  $x=30$  mm. Działający wówczas na ramię moment wynosi:

$$F_{ch} \cdot (l_6 \cos(30^\circ) + l_7) \cong 11,2 \text{ Nm}$$

Ramię jest podwójne więc na każdą część działa moment równy 5,6 Nm.

Każda część ramienia będzie miała w przekroju kwadrat o boku 10mm. Ponieważ przez ramię w tym miejscu przechodzi sworzeń o średnicy 5mm przyjmuję  $h=5$  mm.

wzór na naprężenie:

$$\sigma_{g\ max} = \frac{6 \cdot M_{max}}{b \cdot h^2}$$

po wstawieniu danych daje wartość

$$\sigma_{g\ max} = 134,4\ MPa$$

Dla stali st5, z której zostanie wykonane ramię  $k_g=160$  MPa, więc również ten warunek wytrzymałości został spełniony.

### 8. Obliczenie wymaganych parametrów napędu pneumatycznego chwytaka.

Teoretyczna siła pchająca cylindra pneumatycznego:  $P_{tp} = \frac{\pi D^2}{4} p_n$

Teoretyczna siła ciągnąca napędu pneumatycznego:  $P_{tc} = \frac{\pi(D^2-d^2)}{4} p_n$

Siłownik musi spełniać zasadę:  $P_{tc} \geq P_w = k \cdot F_{s\ max}$

$F_{s\ max}$  obliczam z charakterystyki siłowej i wynosi ona:

$$F_{s\ max} \cong 1120\ N$$

dla  $k=1,5$  potrzebna siła ciągnąca wynosi 1680 N

Z katalogu firmy FESTO wybieram standardowy siłownik o średnicy tłoka 63mm i skoku 10mm

Podana przez producenta siła ciągnąca wynosi 1750 N.

Oznaczenie siłownika to ADVC-63-10-A-P.